



Artikel

Hocheffiziente Photokatalyse von Rose durch sichtbares Licht Bengalischer Farbstoff und Wasserstoffproduktion mit Ag@Cu/TiO2 Ternäre Nanokomposite

Satish Yadav¹, Asim Jilant¹, Sarika Sachan ¹, Pramod Kumar 1,*, Sajid Ali Ansat¹, Mohammed Afzal ⁴ und Mohammad Omaish Ansari 2,*

- Labor für Funktionsmaterialien, Abteilung Chemie, Prof. Rajendra Singh (Rajju Bhaiya), Institut für Physikalische Wissenschaften für Studium und Forschung, Veer Bahadur Singh Purvanchal University, Jaunpur 222003, Uttar Pradesh, Indien; sarikasachan27aug@gmail.com (SS)
- Zentrum für Nanotechnologie, König-Abdulaziz-Universität, Dschidda 21589, Saudi-Arabien; asim.jilane@gmail.com Fakultät für Physik,
- College of Science, König-Faisal-Universität, PO Box 400, Al-Ahsa 31982, Saudi-Arabien; sansari@kfu.edu.sa
- Abteilung für Pharmazeutische Wissenschaften, Pharmazieprogramm, Batterjee Medical College, Postfach 6231, Dschidda 21442, Saudi-Arabien; mohmmad.afzal@bmc.edu.sa
- * Korrespondenz: pkchemistry.2009@gmail.com (PK); moansari@kau.edu.sa (MOA)

Zusammenfassung: In dieser Arbeit wurde ein ternäres Ag@Cu/TiO2- Nanokomposit mithilfe einer einfachen chemischen Methode synthetisiert und anschließend auf den photokatalytischen Abbau des Bengalrosa-Farbstoffs (RB) unter sichtbarem Licht sowie dessen Wasserstoffproduktion untersucht. Die Form-, Größenund topografische Analyse durch Raster- und Transmissionselektronenmikroskopie ergab, dass alle Bestandteile gut interkaliert sind und im Nanobereich liegen. Die energiedispersive Röntgenanalyse des Ag@Cu/TiO2 zeigte das Vorhandensein von Ti, O, Cu und Ag und das Fehlen jeglicher anderer Verunreinigungen, während die Mapping- Analyse ihre gleichmäßige Verteilung zeigte. Die Röntgenphotonenspektroskopie zeigte auch eine erfolgreiche Interaktion zwischen den Komponenten. Darüber hinaus wurden die Veränderungen im chemischen Zustand von Ti2p untersucht. Unter Verwendung der Tauc-Plot-Beziehungen erwies sich die Bandlücke von Ag@Cu/TiO2 mit 2,86 eV als die niedrigste im Vergleich zu reinem TiO2 (3,28 eV), binärem Ag/TiO2 (3,13 eV) und Cu/TiO2 (3,00 eV). Ag@Cu/TiO2 zeigte die niedrigste Photolumineszenzintensität, was auf die höchste Abbaueffizienz und niedrigste Rekombinationsrate hindeutet. Die Anwendung von Ag@Cu/TiO2 zum photokatalytischen Abbau von RB-Farbstoff zeigte eine Abbaurate von ~81,07 %, was die Effizienz von reinem TiO2 um das 3,31-fache $^{ar{y}1}$, was darauf schließen lässt, dass Kupfer und Silber synergetisch dazu beitrugen, was zu Abgesehen davon betrug die Wasserstoffproduktion von Ag@Cu/TiO2 17,1 µmol hÿ1 g, die erhöhte Wasserstoffprodu

Schlüsselwörter: Bengalrosa-Farbstoff; sichtbarer Bereich; photokatalytischer Abbau; ternäre Ag@Cu/TiO2- Nanokomposite



Zitat: Yadav, S.; Jilani, A.; Sachan,
S.; Kumar, P.; Ansari, SA; Afzal, M.;
Ansari, MO Hocheffiziente, durch
sichtbares Licht angetriebene Photokatalyse
des Bengalrosa-Farbstoffs und
Wasserstoffproduktion unter
Verwendung von ternären Ag@Cu/TiO2Nanokompositen. Chemistry 2024, 6, 489–
505. https://doi.org/ 10.3390/chemistry6030028

Wissenschaftliche Herausgeber: Gianguido Ramis, Vincenzo Vaiano und Olga Sacco

Empfangen: 15. April 2024 Überarbeitet: 29. Mai 2024 Akzeptiert: 30. Mai 2024 Veröffentlicht: 20. Juni 2024



Copyright: © 2024 bei den Autoren.
Lizenznehmer MDPI, Basel, Schweiz.
Dieser Artikel ist ein Open Access-Artikel
vertrieben unter den Bedingungen und
Bedingungen der Creative Commons
Namensnennungslizenz (CC BY)
(https:// creativecommons.org/licenses/by/

1. Einleitung

Wasser ist ein wesentliches Element für das Überleben des Lebens auf der Erde und ist auf der Erde in Form von Flüssen, Meeren, Seen und Grundwasser vorhanden. Das schnelle Bevölkerungswachstum, die Entwicklung, die industrielle Revolution und der Klimawandel haben jeden Aspekt der Wasserressourcen verunreinigt [1]. Die Hauptverunreinigungen im Wasser sind Gerbereien, Leder, Gummi, Farbstoffe, Kosmetika, Lebensmittelpharmazeutika, Druckfarben usw. [2,3]. Unter ihnen leiten die Textil-, Pharma-, Druckfarben- und Stoffindustrie bis zu 17–20 % Farbstoff in Gewässer ab, was zu Wasserverschmutzung führt [4]. Synthetische Farbstoffe sind nicht biologisch abbaubar und hochgradig photostabil [5]. Der Farbstoff hemmt das Sonnenlicht, verringert die Löslichkeit von molekularem Sauerstoff in Wasser, was das Leben der Wasserorganismen sowie das Ökosystem des Wassers beeinträchtigt und langfristige toxische und krebserregende Auswirkungen auf a

Zu den am häufigsten verwendeten organischen Farbstoffen gehört Bengalrosa (RB), der in der Textil-, Druck- und kosmetischen Fotochemieindustrie verwendet wird. Er muss aus dem Wasser entfernt werden, da er bei direktem Kontakt mit der Haut Juckreiz, Rötungen, Entzündungen, Reizungen und Blasenbildung verursacht. In letzter Zeit wurden verschiedene Methoden, darunter Membranfiltration, Koagulation, Flockung und Adsorption, eingesetzt, um die Farbstoffverschmutzung abzubauen [6–8].

Allerdings weisen alle diese Methoden Einschränkungen auf, wie z. B. Abwasser, Schlammbildung und Schwierigkeiten bei der Reaktivierung des Adsorbens. Die Photokatalyse ist eine der gängigsten und kostengünstigsten Methoden zur Zersetzung von RB-Farbstoffen aus Wasser unter Verwendung effizienter Nanokatalysat Bei der Photokatalyse mit sichtbarem Licht handelt es sich um einen Prozess, bei dem die Energie des sichtbaren Lichts genutzt wird, um eine chemische Reaktion auszulösen. Dabei wird ein Photokatalysator verwendet, der Licht im sichtbaren Spektrum absorbieren und die Umwandlung von Reaktanten in das gewünschte Produkt fördern kann [10]. In jüngster Zeit hat diese Technik aufgrund ihrer Umweltfreundlichkeit, Vielseitigkeit, Selektivität, Effizienz, Kosteneffizienz und Nachhaltigkeit großes Interesse geweckt, was sie für eine große Anzahl von Anwendungen äußerst anwendbar macht.

Aufgrund ihres hohen Oberflächen-Volumen-Verhältnisses [11] weisen Nanopartikel andere Eigenschaften auf als die Massenmaterialien, Molekülarten oder Atome, aus denen sie gewonnen werden . Die verschiedenen Arten von Nanopartikeln aus Übergangsmetallen [12], Übergangsmetalloxiden und Chalkogeniden werden für unterschiedliche Anwendungen eingesetzt, beispielsweise zur Energiespeicherung, magnetischen Datenspeicherung, Sensoren und Ferrofluiden sowie zur photokatalytischen Zersetzung organischer Farbstoffe. Nanopartikel. insbesondere Metalloxid-Nanopartikel, werden häufig im Bereich der Photokatalyse mit sichtbarem Licht verwendet. Diese Nanopartikel verfügen über einzigartige Eigenschaften, die sie in der Photokatalyse verschiedener Reaktionen wirksam machen. So wurden beispielsweise Metalloxid-Nanopartikel wie Titanoxid (TiO2) [13], Zinkoxid (ZnO) [14] und Wolframoxid (WO3) [15] umfassend auf ihre photokatalytischen Fähigkeiten hin untersucht . Die Verwendung von Nanopartikeln für die Photokatalyse ist jedoch mit bestimmten Nachteilen verbunden, wie z. B. ihrer hohen Bandlücke und der Anforderung, dass die Bandlücke des Photokatalysators der Energie der sichtbaren Lichtphotonen entsprechen muss, um eine wirksame Photokatalyse mit sichtbarem Licht zu erreichen. Leider haben viele Metalloxid-Nanopartikel eine Bandlücke, die ultraviolettem (UV-Vis) Licht entspricht, wodurch ihre photokatalytische Aktivität mit sichtbarem Licht begrenzt ist. Während des Photokatalyseprozesses können Nanopartikel agglomerieren, was zu einer Verringerung der Oberfläche sowie zu einer Begrenzung der verfügbaren reaktionsaktiven Stellen führt . Diese Aggregation kann aufgrund verschiedener Faktoren auftreten, wie z. B. einer hohen Konzentration, pH-Änderungen oder dem Vorhandensein von Verunreinigungen [16]. Um diese Einschränkung zu überwinden, haben Forscher verschiedene Strategien entwickelt, wie z. B. Dotierung, Oberflächenmodifizierung und Bandlückenänderung, um Metalloxid-Nanopartikel unter sichtbarer Lichtbestrahlung zu aktivieren. Diese Modifikationen ermöglichen es den Nanopartikeln, ein breiteres Spektrum an Licht, einschließlich sichtbarem Licht, zu absorbieren, wodurch ihre photokatalytische Effizienz verbessert wird [17]. Zahlreiche Übergangsmetalloxide wie ZnO, TiO2, NiO und CuO sowie Metallchalkogenide wie ZnS und MoS2 wurden zur Entfernung von Farbstoffen, industriellen Schadstoffen und pharmazeutischen Abwasserabfällen verwendet [18-20]. Das am häufigsten untersuchte Übergangsmetalloxid für den photokatalytischen Abbau von Verunreinigungen sowie Farbstoffen ist TiO2, das eine starke Oxidationskraft besitzt, ungiftig und extrem beständig gegenüber Photo- und chemischer Korrosion ist. Die Photokatalyse ist eine vielversprechende Methode, da sie kostengünstig und umweltfreundlich ist. TiO2 besitzt eine Bandlücke von 3,2 eV und absorbiert Wellenlängen zwischen 360 und 380 nm im UV-Vis-Bereich.

Mehrere Studien zeigen die verringerte Bandlücke von TiO2 durch die Dotierung mit neuen Übergangsmetallen wie Cu, Ag, Au, Pt, Ni und Co sowie Polyanilin (PANI), Polypyrrol (PPY) und reduziertem Graphenoxid, was die spektrale Verschiebung im sichtbaren Bereich erweitert und die photokatalytische Aktivität von TiO2 erhöht [21]. Es wurde gezeigt, dass Methylblau (MB) und Methylorange (MO) unter UV-Vis-Bestrahlung mit TiO2, das mit der modifizierten Solvothermalmethode synthetisiert wurde, einen Abbau von 96,3 % bzw. 97 % aufweisen. Lin et al. [22] demonstrierten den photokatalytischen Abbau (UV-VIS) von giftigem 2-Chlorphenol unter Verwendung eines TiO2- Katalysators. In ähnlicher Weise untersuchten Zhang et al. [23] den photoelektrischen Effekt und die photokatalytischen Eigenschaften von TiO2, indem sie es mit Ag-Nanopartikeln dotierten, um den photoelektrischen und photokatalytischen Abbau zu verbessern. Mingxuan Sun et al. [24] zeigten eine deutlich verbesserte sichtbare

Region der photokatalytischen Aktivität, photochemischen Stabilität und geringen Ladungsrekombination von mit CdS und CdS/MoS2 dotiertem TiO2.

Auf der Grundlage der obigen Diskussion haben wir ternäre Ag@Cu/TiO2 -Komposite mit der Insitu-Solvothermalmethode für den photokatalytischen Abbau von RB- Farbstoff im sichtbaren Bereich des Lichts synthetisiert. Das synthetisierte ternäre Ag@Cu/TiO2-Komposit wurde hinsichtlich seiner strukturellen und morphologischen Eigenschaften charakterisiert. Abschließend wurden der photokatalytische Abbau von RB-Farbstoff und das Phänomen der Wasserstoffentwicklung im sichtbaren Bereich eingehend untersucht.

2. Experimenteller Teil 2.1.

Materialien und Methoden

In dieser Studie wurden Titan(IV)-Isopropoxid (TIP) 97 % von Qualigens, Kupfer(II)-sulfat-Pentahydrat 99,5 % (CuSO4.5H2O) von Sisco Research Laboratories, Silbernitrat 99,8 % (AgNO3) von Sigma Aldrich, Ascorbinsäure 99,7 % von Sisco Research Laboratories, Natriumborhydrid 98 % (NaBH4) von Sisco Research Laboratories, Salzsäure 35 % (HCI) von Sisco Research Laboratories (Mumbai, Indien) und Bengalrosa (RB)-Farbstoff von Sigma Aldrich (St. Louis, MO, USA) verwendet. Als Reaktionsmedium für das synthetische Verfahren wurde deionisiertes Wasser verwendet .

Zur Untersuchung der Oberflächenmorphologie und Elementzusammensetzungen wurde Feldemissions-Rasterelektronenmikroskopie (JEOL, JSM-7600F, FESEM, Tokio, Japan) verwendet. Außerdem wurde Transmissionselektronenmikroskopie (JEOL, JSM, ARM-200F, HRTEM, Tokio, Japan) verwendet. Die Elementzuordnung wurde mit einem energiedispersiven Röntgenspektroskop (EDS) von Oxford Instruments, Oxfordshire, Großbritannien, aufgezeichnet, das mit FESEM ausgestattet war. Zur Elementerkennung wurde Röntgen-Photoelektronenspektroskopie (XPS) (ESCALAB 250 von Thermo Fisher Scientific, Warrington, Großbritannien) an einer monochromatisierten Al Kÿ-Röntgenquelle ÿ 1/4 1486,6 eV verwendet.

2.2. Synthese von Ag@Cu/TiO2

Die Synthese von Ag@Cu/TiO2 wurde mit der Solvothermalmethode durchgeführt. Bei dieser Methode wurden 6 ml Isopropanol in 86 ml Wasser dispergiert und 6 ml HCl tropfenweise hinzugefügt. Zu der Mischung aus Isopropanol und Säure wurden langsam 5 ml TIP hinzugefügt und die gesamte Mischung 1 Stunde lang bei 80 °C gerührt, wodurch eine weiße kolloidale Lösung entstand (Lösung A genannt). Diese weiße kolloidale Lösung wurde zentrifugiert und anschließend wurde das gesammelte TiO2 mit einem Überschuss an Lösungsmitteln (Wasser- und Ethanolmischung) gewaschen und schließlich 6 Stunden lang in einem Luftofen bei 80 °C getrocknet, um reines TiO2 zu erhalten. Das Cu/TiO2 wurde hergestellt, indem 0,4 g CuSO4.5H2O in 100 ml (für eine Beladung von ~5 % Cu auf TiO2) Wasser gelöst und 0,05 M NaOH verwendet wurden, um den pH-Wert bei 12 zu halten. Zu der obigen Lösung von CuSO4.5H2O wurden 30 ml 0,05 M Ascorbinsäure tropfenweise hinzugegeben und das Ergebnis 1 Stunde lang unter ständigem Rühren auf 60 °C erhitzt (Abbildung 1). Die gelbe Farbe der Mischung änderte sich langsam zu Braun, was auf das gebildete Cu hinweist (die Cu-Dispersion wurde als Lösung B bezeichnet). Schließlich wurden beide Lösungen (A und B) unter ständigem Rühren gemischt und das resultierende Cu/TiO2 zentrifugiert, mit einem Überschuss an Lösungsmitteln (Wasser und Ethanol) gewaschen und schließlich 6 h bei 80 ÿC getrocknet, um Cu/ TiO2 zu erhalten. Das Ag@Cu/TiO2 wurde hergestellt, indem zuerst die kolloidale Lösung von Ag-Nanopartikeln durch Auflösen von 0,12 g AgNO3 in 100 ml H2O hergestellt und dann tropfenweise 30 ml 0,06 M NaBH4 hinzugefügt wurden. Die binäre Cu/TiO2-Verbindung wurde der kolloidalen Ag-Lösung hinzugefügt und die gesamte Mischung 2 h lang kontinuierlich gerührt. Daher wurde das hergestellte Ag@Cu/TiO2 -Komposit mit einem Überschuss an Lösungsmitteln (Wasser und Ethanol) gewaschen und schließlich 6 Stunden lang bei 80 °C getrocknet, um reines Ag@Cu/TiO2 zu erhalten.

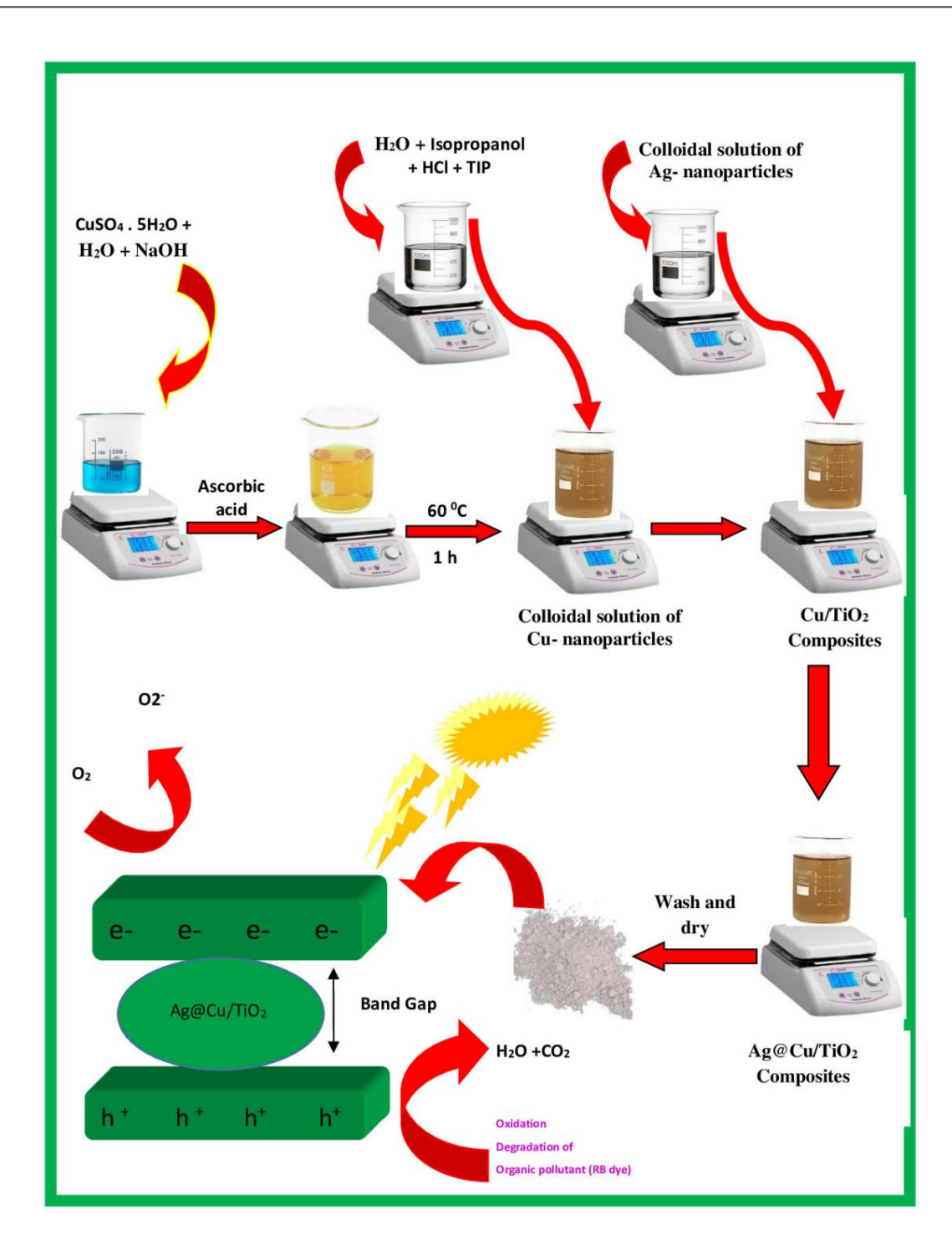


Abbildung 1. Schematische Darstellung der Synthese von Ag@Cu/TiO2 . Abbildung 1. Schematische Darstellung der Synthese von Ag@Cu/TiO2.

2.3. Photokatalytischer Abbau von RB und Wasserstoffproduktion

2.3. Photokatalytische Aktivität der synthetisierten Katalysatoren, nämlich reines TiO2, Ag/TiO2, Cu/TiO2iendoAgk@a0xisti0e24wivitätidertyritudekteitedekatälysetviriksaärikitätheimesAtib@uAg/TiO2, RBJFät02stoff.Ag@a2ouvitiotevu20enragtetescherigestellten WalkalysketriseimitAtibeur 250 mL Lösung gemischt, die 36 meijcheRB-Fandstaß fradtatoff-Dalzutwurdten auf Breibigestellten WalkalysketriseimitAtibeur 250 mL Lösung gemischt, die 260 meijcheRB-Fandstaß fradtatoff-Dalzutwurdten auf Breibigestellten distatyisats Bestirptiversche den gemischt, die z Gerreich ReB-Fandstaß fradtatoff-Dalzutwurdten auf Breibigestelltigelsroheitre Adsatytisats Bestirptiversche den gemischt, die z Gerreich ReB-Fandstaß fradtatoff-Dalzutwurdten auf Breibigestelltigelsroheitre Adsatytisats Brezonteiten Ableiten gewischen Bestirptiversche Bestirptiversche

Die Abbaueffizienz von reinem TiO2, Ag/TiO2, Cu/TiO2 und Ag@Cu/TiO2 wurde mit der folgenden Gleichung berechnet [25].

Degradation (%) =
$$\frac{\text{Co ""o" Ct}}{\text{Co}} = 100$$
 (1)

In der angegebenen Gleichung stellt Co die Anfangskonzentration des RB-Farbstoffs dar, während Ct die Konzentration von RB nach einem bestimmten Zeitintervall (0, 20, 40 und 60 Min.) angibt.

Anschließend wurde die scheinbare Geschwindigkeitskonstante (k) mithilfe der folgenden Gleichung bestimmt.

$$\ln \frac{Ct}{Co} = \ddot{y}kt$$
(2)

Zur Bewertung der Wasserstoffproduktion wurde Methanol als Scavenger verwendet. In Wasserstoffproduktionsprozessen spielen Scavenger eine entscheidende Rolle bei der Steigerung der Effizienz. Sie bewältigen wichtige Herausforderungen, indem sie Elektron-Loch-Paare einfangen und verhindern, dass erzeugte Energie verschwendet wird [1]. Darüber hinaus zielen Scavenger gezielt auf Moleküle ab, die an unerwünschten Nebenreaktionen beteiligt sind, und eliminieren diese, wodurch die entscheidenden Zwischenprodukte geschützt werden, die für die Wasserstoffentwicklung erforderlich sind. Darüber hinaus können sie die Bewegung photogenerierter Ladungen innerhalb des Systems erleichtern und so deren effiziente Nutzung für die Wasserstoffproduktion sicherstellen. Im Wesentlichen fungieren Scavenger als Wächter, die verschiedene Aspekte des Prozesses optimieren, um die Wasserstoffproduktion zu maximieren [2].

3. Ergebnisse und Diskussion

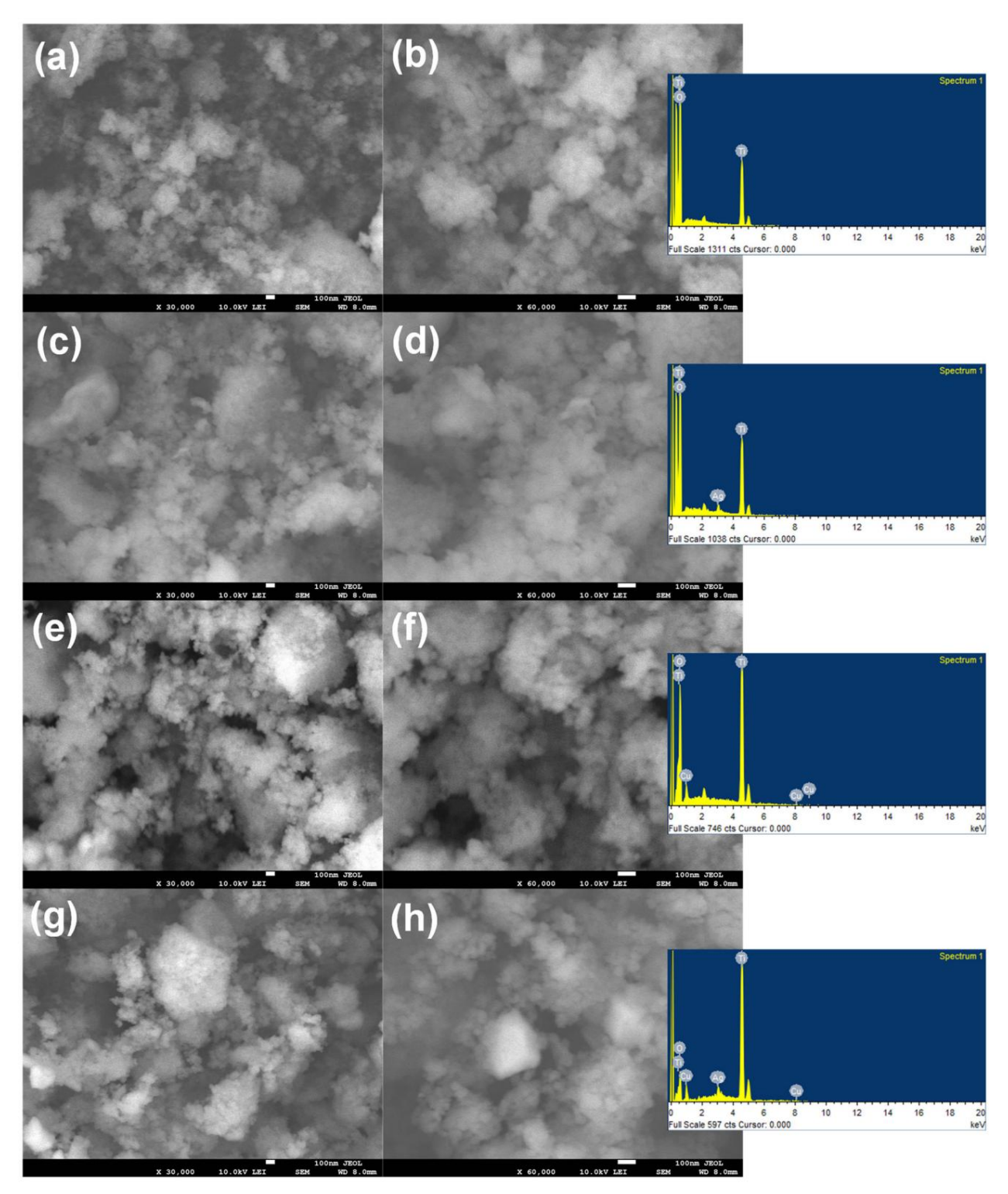
3.1. Analyse der Oberflächenmorphologie

Die morphologische Analyse von TiO2, Ag/TiO2, Cu/TiO2 und Ag@Cu/TiO2 wurde mittels SEM (Abbildung 2) und TEM (Abbildung 3) durchgeführt . Das SEM des reinen TiO2 zeigt Cluster aus kleinen, runden Partikeln, die in kleine und große Aggregate gepackt sind. Ag/TiO2, Cu/TiO2 und Ag@Cu/TiO2 weisen eine ähnliche Morphologie auf, wobei alle Bestandteile im Nanobereich liegen. Aus den Mikrofotografien lässt sich abschätzen, dass alle Bestandteile von Ag@Cu/TiO2 gut miteinander verflochten sind. Die TEM-Bilder von Ag@Cu/TiO2 zeigen, dass TiO2, Cu und Ag gut miteinander verflochten sind, wobei die Größe mancher TiO2-Bestandteile etwas über 100 nm beträgt .

Die Elementaranalyse von TiO2, Ag/TiO2, Cu/TiO2 und Ag@Cu/TiO2 mittels EDS zeigt das Vorhandensein von Ti und O im TiO2, Ti, O und Ag im Ag/TiO2, Cu, Ti und O im Cu/TiO2 und Cu, Ti, O und Ag im Ag@Cu/TiO2 und zeigt damit die erfolgreiche Bildung des Verbundwerkstoffs sowie das Fehlen jeglicher Verunreinigungen. Die gleichmäßige Verteilung der jeweiligen Elemente, wie sie durch die Mapping-Analyse dargestellt wird (Abbildung 4), weist auf die Wirksamkeit der Synthesemethode hin.

3.2. Oberflächenzusammensetzung und chemische

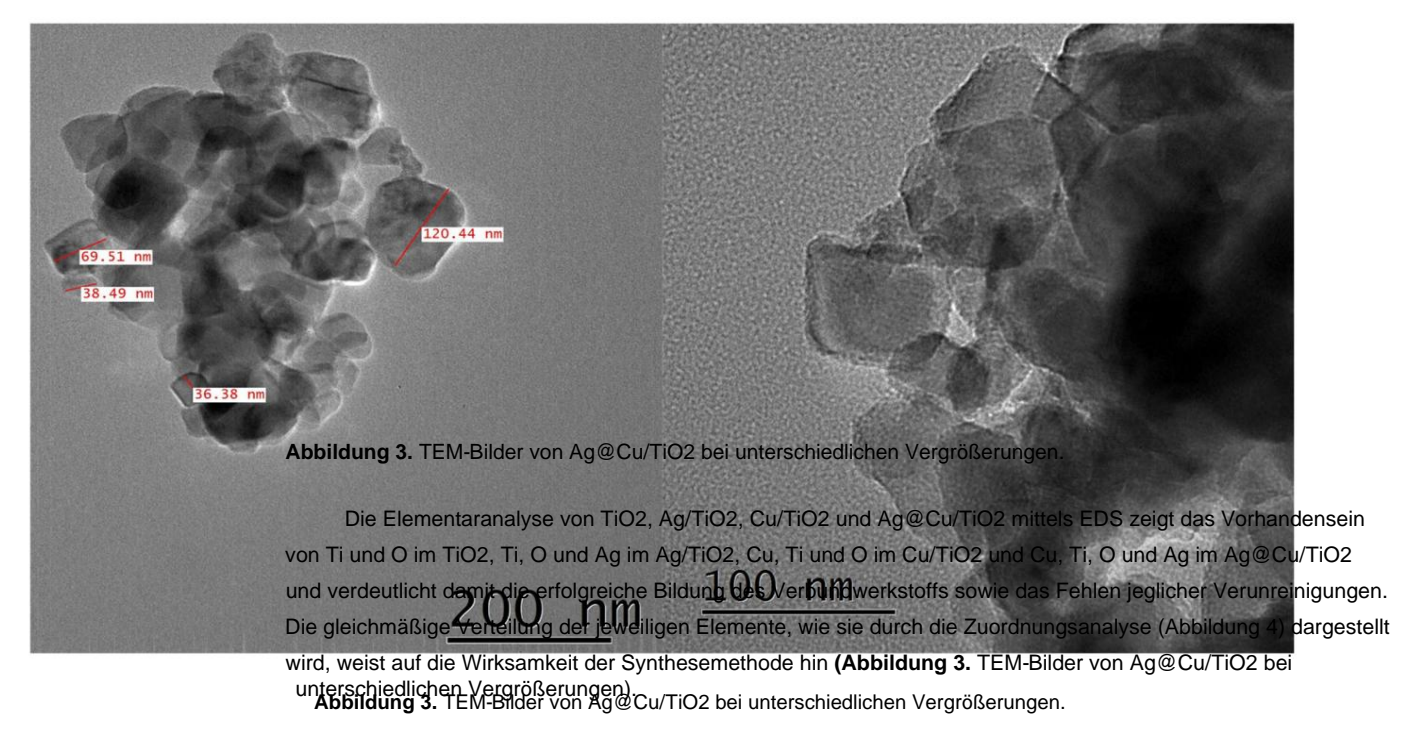
Analyse Die Elementzusammensetzung und die Funktionsgruppen der hergestellten Katalysatoren (reines TiO2, Ag/TiO2, Cu/TiO2 und Ag@Cu/TiO2) wurden mithilfe der Röntgen-Photoelektronenspektroskopie (XPS) untersucht. Die Übersichtsspektren (Abbildung 5a) lieferten Einblicke in die Oberflächenelemente, während die ermittelte Zusammensetzung in Abbildung 5b dargestellt ist. Das reine TiO2 wies eine Zusammensetzung aus 58,1 % Sauerstoff und 41,9 % Titan auf. Im Fall von Ag/TiO2 waren die Elemente in den Prozentanteilen 51,7 % Sauerstoff, 45,3 % Titan und 3,0 % Silber vorhanden. Ebenso wurde die Einlagerung von Kupfer in Cu/TiO2 mit einer Zusammensetzung von 50,7 % Sauerstoff, 43,0 % Titan und 6,3 % Kupfer bestätigt . Das ternäre Nanokomposit, bezeichnet als Ag@Cu/TiO2, wies eine Elementzusammensetzung von 35,4 % Sauerstoff, 39,2 % Titan, 16,7 % Silber und 8,7 % Kupfer auf.

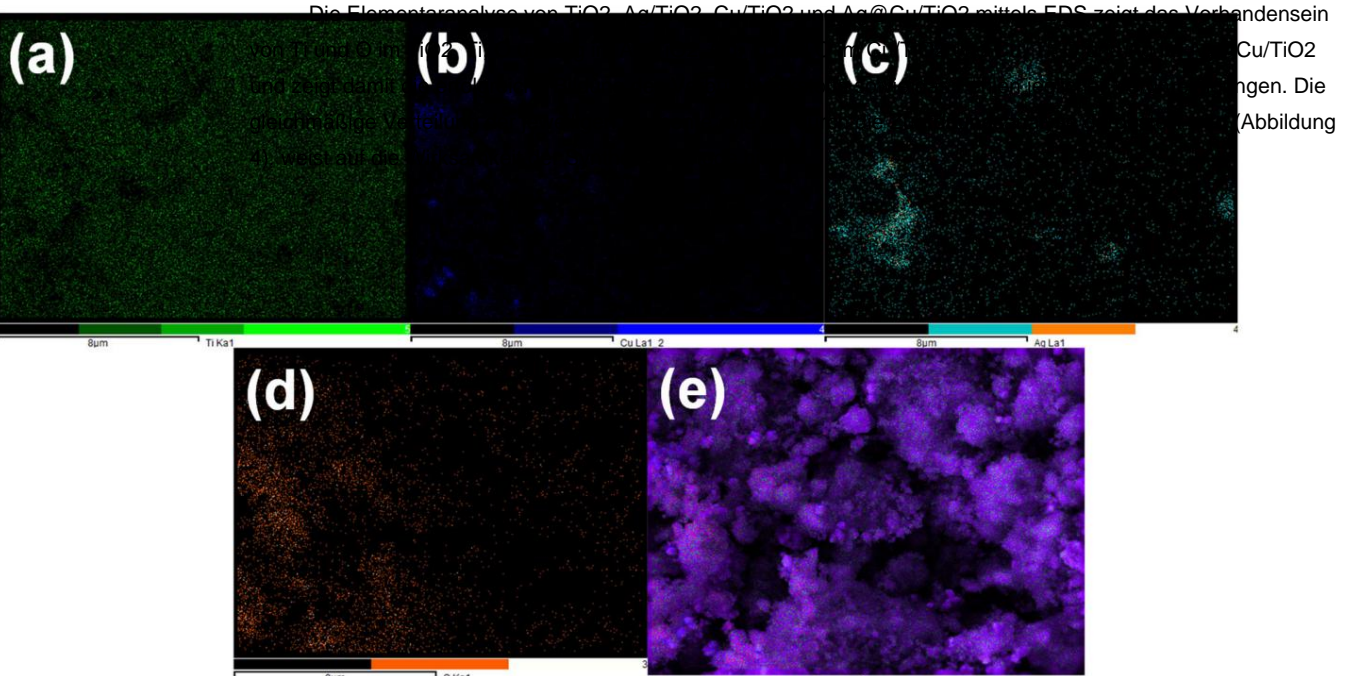


Abhildung, 2, SEM -Mikrofotografien von TiO2 (a.b). Ag /TiO2 (c.d). Cu / TiO2 (hef) jeweiligen Cu/ Elementanalyse.

Die chemische Zustandsanalyse des Ti2p wurde weiter untersucht, um die chemischen Wechselwirkungen in TiO2, Ag/TiO2, Cu/TiO2 und Ag@Cu/TiO2 aufzuklären (Abbildung 6a–d). Bei der chemischen Zustandsanalyse des reinen TiO2 (Abbildung 6a) wurden deutliche Spitzen bei 457,99 eV und 463,67 eV beobachtet, die Ti2p3/2 und Ti2p1/2 entsprechen, mit Beiträgen von 73,32 % bzw. 26,68 %. Die Einführung von Ag und Cu in das TiO2 führte zu Veränderungen in den Beiträgen von Ti2p3/2 und Ti2p1/2. Insbesondere zeigte die Ag/TiO2 -Probe

von Ag und Cu die erfolgreiche $_{\mbox{Wechselwirkung zwischen}}$ den Komponenten an.





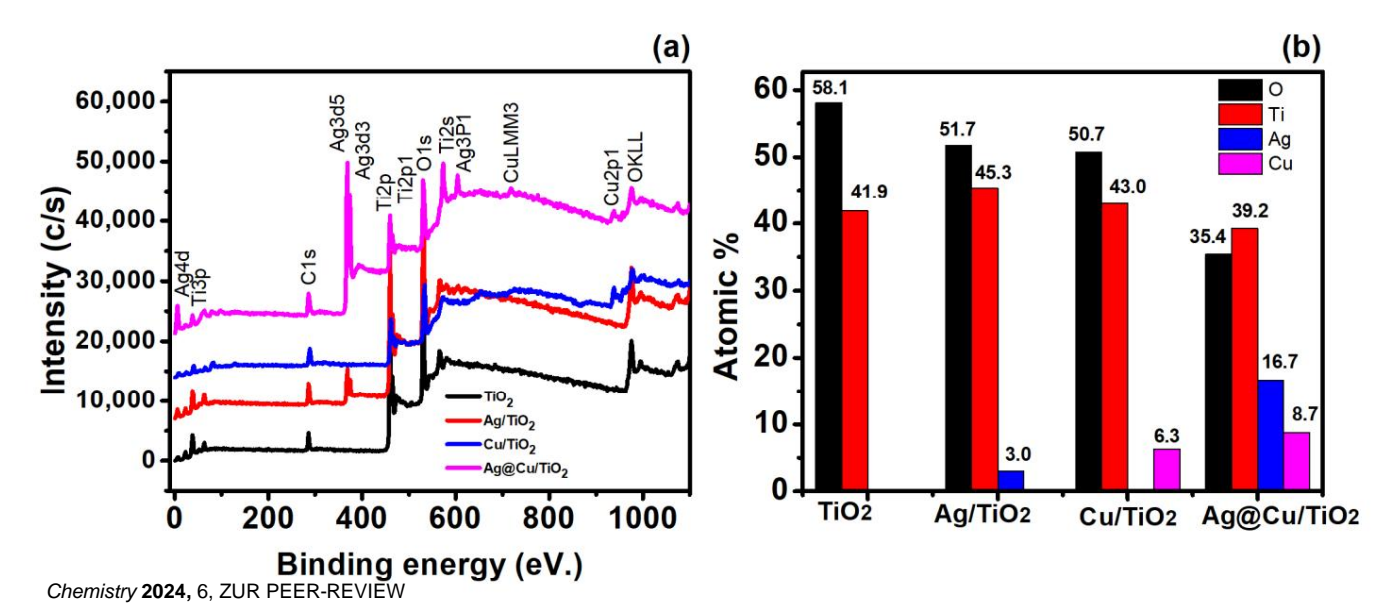
Abailduna. Ag Lengramentrium anah gildung ilah fi (b); & (b), & (c), & (c), & (c), & (d), & (

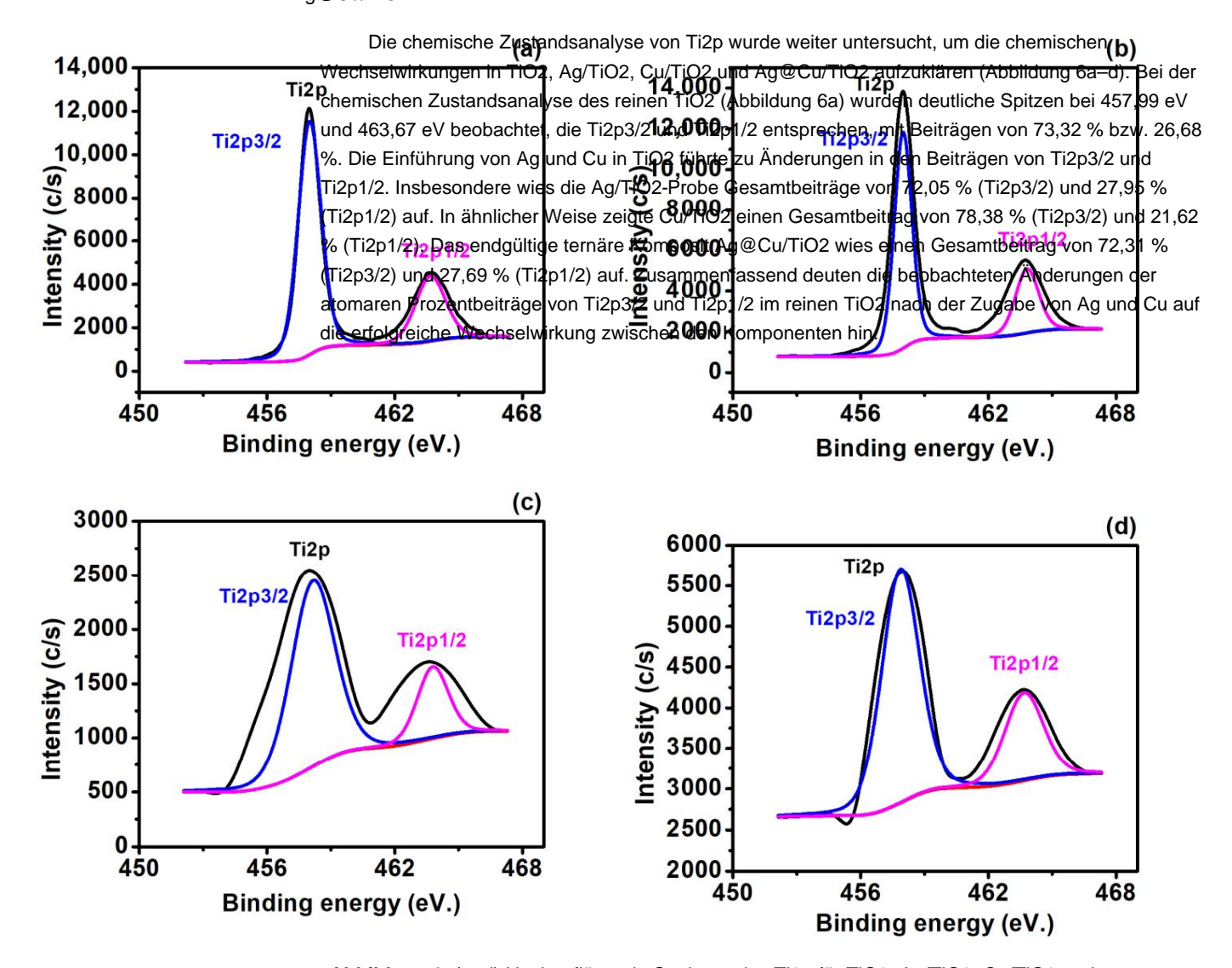
3.2. Oberflächenzusammensetzung und chemische Analyse

Die Elementzusammensetzung und die Funktionsgruppen der hergestellten Katalysatoren (reines TiO2, Ag/TiO2, Cu/TiO2 und Ag@Cu/TiO2) wurden mittels Röntgen-Photoelektronenspektroskopie (XPS) untersucht. Die Übersichtsspektren (Abbildung 5a) lieferten Einblicke in die Oberflächenelemente, während die ermittelte Zusammensetzung in Abbildung 5b dargestellt ist. Das reine TiO2 zeigte eine **Abbildung 4.** Elementverteilungsabbildung von Ti (a), O (b), Ag (c), Cu (d) und gemischten Elementen (e).

3.2. Oberflächenzusammensetzung und chemische Analyse

Elemente waren in den Prozentsätzen 51,7 % Sauerstoff, 45,3 % Titan und 3,0 % Silber vorhanden. Ebenso wurde die Einlagerung von Kupfer in Cu/TiO2 bestätigt, mit einer Zusammensetzung von 50,7 % Sauerstoff, 43,0 % Titan und 6,3 % Kupfer. Das ternäre Nanokomposit, bezeichnet als Ag@Cu/TiO2, wies eine Elementzusammensetzung von 35,4 % Sauerstoff, 39,2 % Titan, 16,7 % Silber und 8,7 % Kupfer auf.

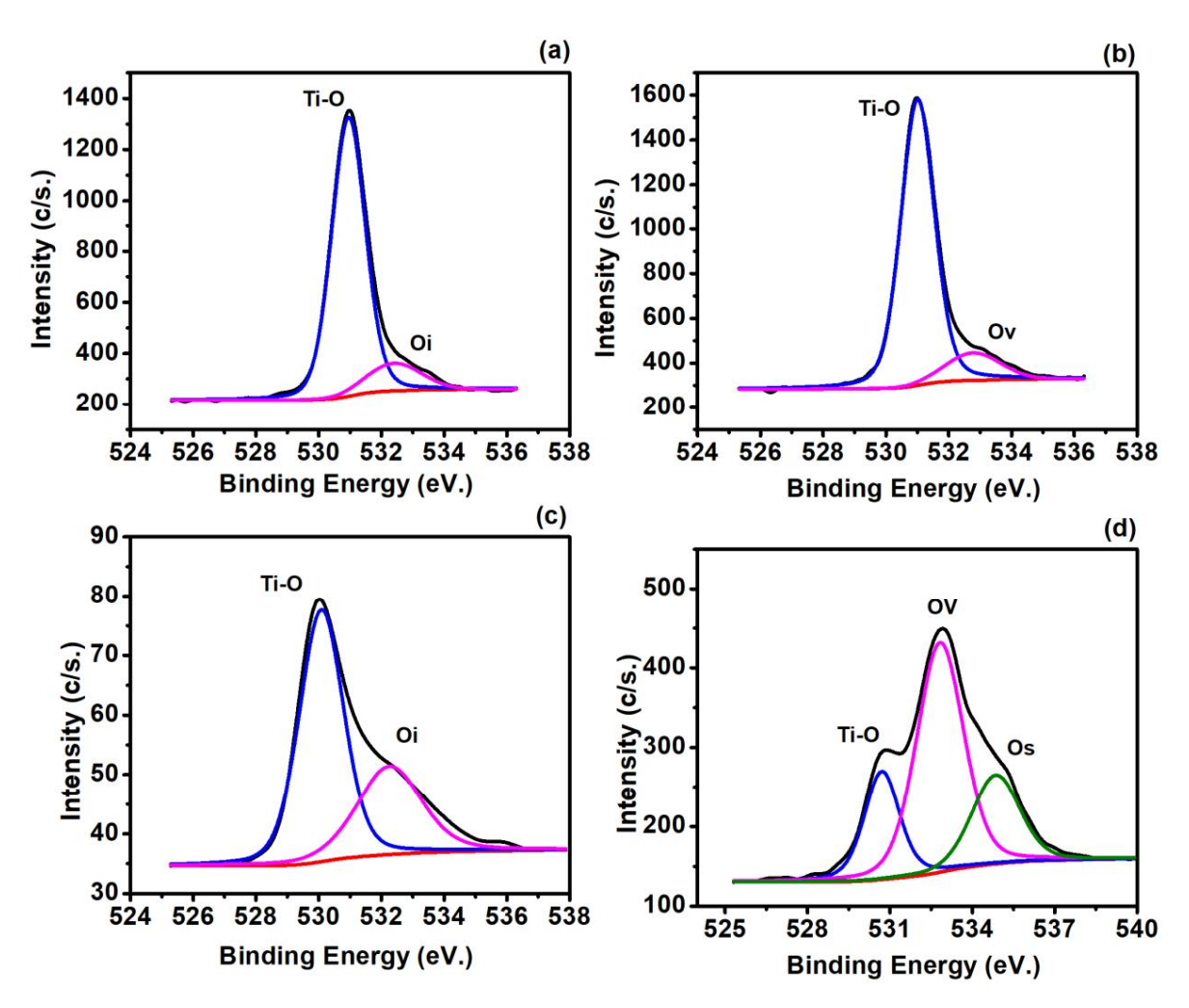




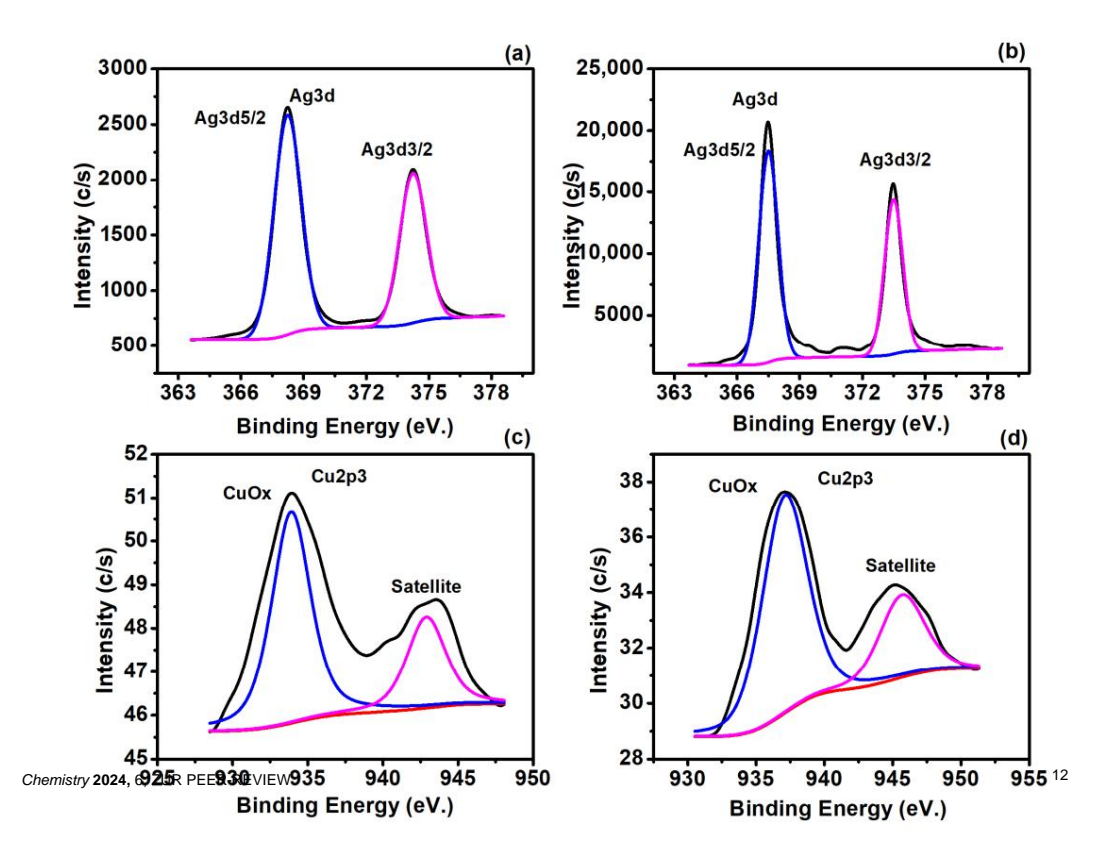
Abb**Abbilg un qu6**-d/aHd/chtauftasefrase spellareaktues Teap TürpTiürzTi,Q2/AiQ/Zi,Q2u/Qiv\02Q2durag @ Cu/TiO2 . Ag@Cu/TiO2.

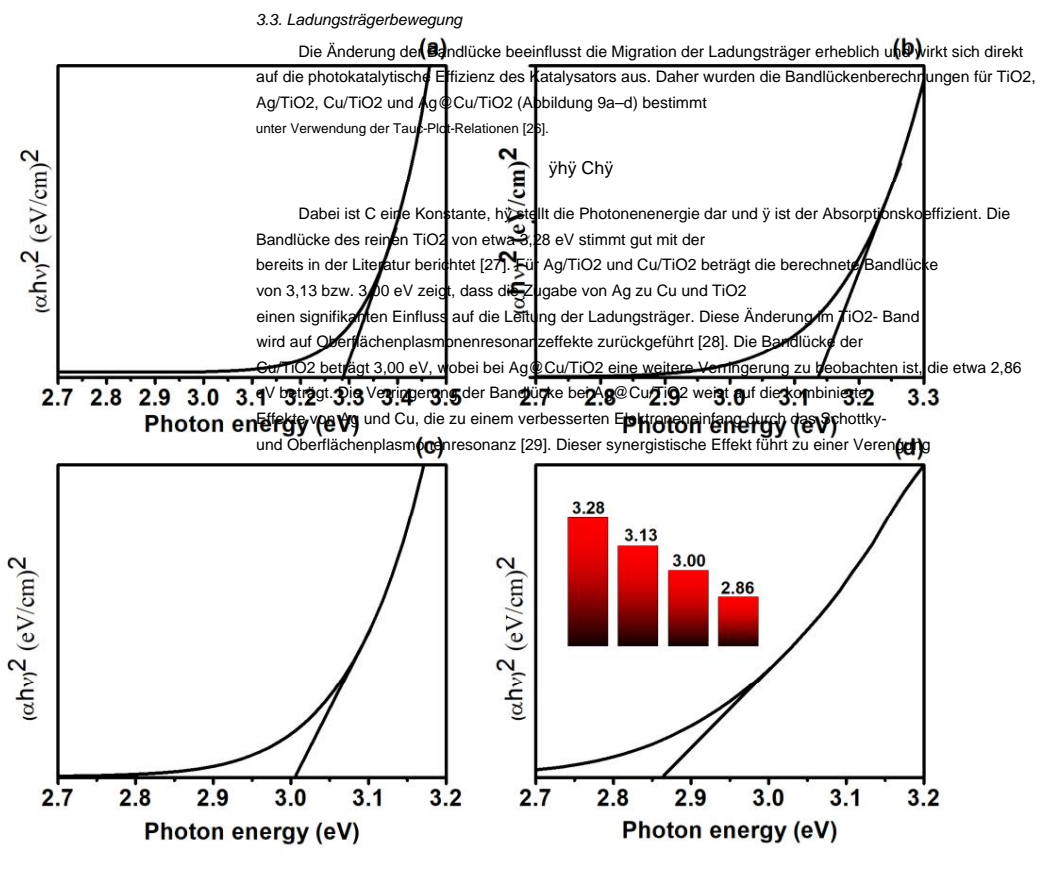
Die O1s-Spektren des reinen TiO2 (Abbildung 7a) weisen zwei Hauptspitzen bei etwa 530 eV und 532,5 eV auf, die auf die Wechselwirkung zwischen Sauerstoff und Ti bei 530 eV bzw. auf Sauerstoffleerstellen bei 532,5 eV zurückzuführen sind [1]. Insbesondere die Anwesenheit von Ag im TiO2 (Ag/TiO2), wie in Abbildung 7b dargestellt, führt zu einer Erhöhung der Sauerstoffleerstellen von 12,54 %

Die O1s-Spektren des reinen TiO2 (Abbildung 7a) weisen zwei Hauptspitzen bei etwa 530 eV und 532,5 eV auf, die der Wechselwirkung zwischen Sauerstoff und Ti bei 530 eV bzw. einer Sauerstoffleerstelle bei 532,5 eV zugeschrieben werden [1]. Insbesondere das Vorhandensein von Ag im TiO2 (Ag/TiO2), wie in Abbildung 7b dargestellt, führt zu einer Erhöhung der Sauerstoffleerstellen von 12,54 % auf 13,12 %. Dieser Trend setzt sich mit der Zugabe von Cu zum TiO2 (Cu/TiO2) und dem ternären Ag@Cu/TiO2 fort. Die maximale Sauerstoffleerstelle von 56,45 % wird für Ag@Cu/TiO2 beobachtet. Diese Leerstellen dienen als aktive Einfangstellen für Farbstoffmoleküle und Schadstoffe und erhöhen so die photokatalytische Aktivität des Materials [2]. Diese Erkenntnisse stimmen mit unseren photokatalytischen Ergebnissen überein, wie später in Abbildung 9 beschrieben. Darüber hinaus ist bei Ag@Cu/TiO2 ein zusätzlicher Peak bei etwa 534,6 eV erkennbar, der dem Oberflächensauerstoff (Os) zugeschrieben wird *und* weiter zur erhöhten photokatalytischen Aktivität des ternären Ag@Cu/TiO2 im Vergleich zu reinem TiO2, Ag/TiO2 und Cu/TiO2 beiträgt.



 Chemie **2024**, 6 Chemistry **2024**, 6, ZUR PEER-REVIEW 498





3.4. Ladungsrekombinationsverhältnis

Das Ladungsrekombinationsverhältnis ist umgekehrt proportional zur photokatalytischen Leistung. Die Ladungsrekombinationsverhältnisse von TiO2, Ag/TiO2, Cu/TiO2 und Ag@Cu/TiO2 wurden durch die Photolumineszenzspektren bestimmt, wie in Abbildung 10 dargestellt. Die Analyse der Photolumineszenzspektren ergab, dass das TiO2 einen Peak aufwies von hoher Intensität im Vergleich zu Ag/TiO2, Cu/TiO2 und Ag@Cu/TiO2, was auf eine hohe Rekombinationsrate für das TiO2, was folglich zu einer geringeren photokatalytischen Effizienz führt.

3.3. Ladungsträgerbewegung

Die Änderung der Bandlücke beeinflusst die Migration der Ladungsträger erheblich und wirkt sich somit direkt auf die photokatalytische Effizienz des Katalysators aus. Daher wurden die Bandlückenberechnungen für TiO2, Ag/TiO2, Cu/TiO2 und Ag@Cu/TiO2 (Abbildung 9a–d) mithilfe der Tauc-Plot-Beziehungen [26] durchgeführt .

Hier ist C eine Konstante, hÿ stellt die Photonenenergie dar und ÿ ist der Absorptionskoeffizient. Die Bandlücke des reinen TiO2 von etwa 3,28 eV stimmt gut mit der zuvor in der Literatur veröffentlichten Literatur überein [27]. Die für Ag/TiO2 und Cu/TiO2 berechnete Bandlücke von 3,13 bzw. 3,00 eV weist darauf hin, dass die Zugabe von Ag sowohl zu Cu als auch zu TiO2 einen signifikanten Einfluss auf die Leitung der Ladungsträger hat. Diese Veränderung der Bandlücke bei TiO2 wird den Oberflächenplasmonenresonanzeffekten zugeschrieben [28]. Die Bandlücke von Cu/TiO2 beträgt 3,00 eV, wobei bei Ag@Cu/TiO2 eine weitere Verringerung auf etwa 2,86 eV beobachtet wurde. Die Bandlückenverringerung bei Ag@Cu/TiO2 weist auf die kombinierten Effekte von Ag und Cu hin, die zu einer verbesserten Elektroneneinfangung durch den Schottky-Effekt und die Oberflächenplasmonenresonanz beitragen [29]. Dieser synergetische Effekt führt zu einer Verengung der Bandlücke sowie zu beschleunigten Elektronen- und Lochbewegungen im Ag@Cu/TiO2 und damit zu einem verstärkten photo

3.4. Ladungsrekombinationsverhältnis

Das Ladungsrekombinationsverhältnis ist umgekehrt proportional zur photokatalytischen Leistung . Die Ladungsrekombinationsverhältnisse von TiO2, Ag/TiO2, Cu/TiO2 und Ag@Cu/TiO2 wurden durch die Photolumineszenzspektren bestimmt, wie in Abbildung 10 dargestellt. Die Analyse der Photolumineszenzspektren ergab, dass TiO2 im Vergleich zu Ag/TiO2, Cu/TiO2 und Ag@Cu/TiO2 einen Peak mit hoher Intensität aufwies, was auf ein hohes Rekombinationsverhältnis für TiO2 hindeutet, was folglich zu einer geringeren photokatalytischen Effizienz führt. Umgekehrt hatte Ag@Cu/TiO2 eine geringe Intensität, was auf eine höhere Abbaueffizienz hindeutet. Diese REVIEW: Die Photolumineszenz-Ergebnisse stimmen mit unseren photokatalytischen Erkenntnissen überein, die folgende Abbaueffizienz ergaben: Ag@Cu/TiO2 > Cu/TiO2 > Ag/TiO2 > TiO2.

Chemistry 2024, 6, FOR PEER

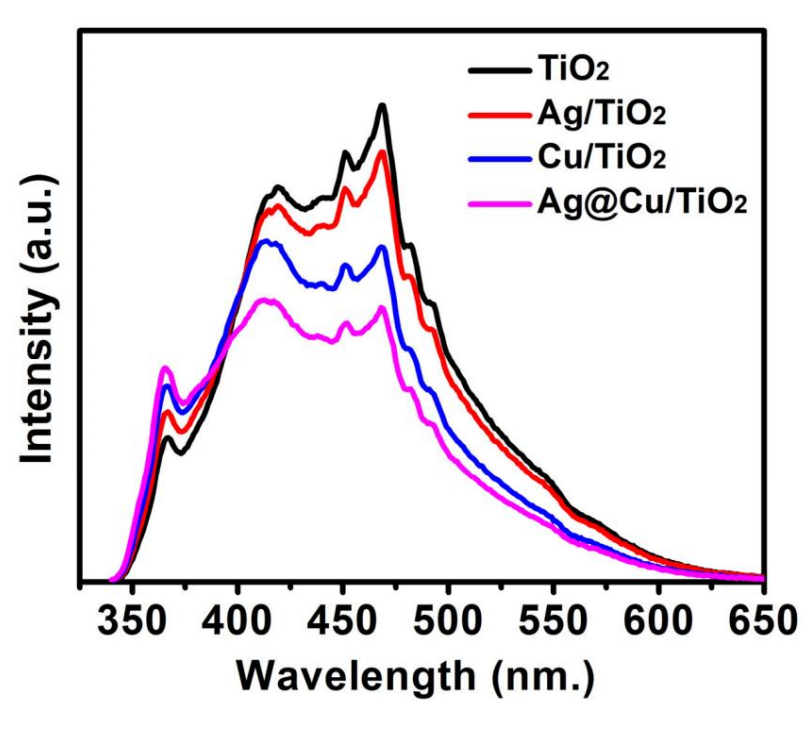


Abbildung 10. Ladungsvekombinationaverhällnissven TTQ2 Ast/1982; «Ci/922nd Asq(201/932).

3.5. Photokatalytischer Abbau von RB

Das zeitabhängige UV-Vis-Spektrum von RB unter UV-Vis-Bestrahlung ist in Abbildung 9a dargestellt, wobei der charakteristische Absorptionspeak bei ÿmax von 545 nm liegt, was das Hauptmerkmal von RB ist. Bei Betrachtung von Abbildung 9a wird deutlich, dass mit zunehmender Bestrahlungszeit von 0 auf 60 m der Absorptionspeak allmählich abnimmt, was auf die Deradierung von RB durch TiO2, A/TiO2, Cu/TiO2 und A@Cu/TiO2 unter sichtbarem Licht hinweist.

3.5. Photokatalytischer Abbau von

RB Das zeitabhängige UV-Vis-Spektrum von RB unter UV-Vis-Bestrahlung ist in Abbildung 9a dargestellt, wobei der charakteristische Absorptionspeak bei ÿmax von 545 nm liegt, was das Hauptmerkmal von RB ist. Bei Betrachtung von Abbildung 9a wird deutlich, dass mit zunehmender Bestrahlungszeit von 0 auf 60 m der Absorptionspeak allmählich abnimmt, was auf den Abbau von RB durch TiO2, Ag/TiO2, Cu/TiO2 und Ag@Cu/TiO2 unter sichtbarem Licht hinweis

Abbildung 9b,c veranschaulicht die Degradationsstatistik und zeigt, dass die Degradationseffizienz des reinen TiO2 innerhalb von 60 m Bestrahlung etwa 24,41 % beträgt. Diese relativ niedrige Effizienz ist auf die große Bandlücke und die hohe Ladungsrekombinationsrate zurückzuführen. Durch die Integration von Ag erhöhte sich die Degradationseffizienz des reinen TiO2 innerhalb derselben Dauer auf etwa 34,73 %. Diese Verbesserung ist auf die durch Silber induzierte Oberflächenphotolumineszenzresonanz zurückzuführen, die die Rekombination der Ladungsträger unterdrückt und somit die Degradation von RB durch Ag/TiO2 intensiviert [25].

Die Abbaueffizienz von Cu/TiO2 lag bei etwa 68,38 %, was dem 2,82-fachen der von reinem TiO2 entspricht. Diese Verbesserung ist auf die verringerte Ladungsrekombinationsrate und die Einführung aktiver Stellen wie Sauerstoffleerstellen im reinen TiO2 zurückzuführen, wodurch RB-Moleküle effektiver eingefangen und somit die Abbaueffizienz von Cu/TiO2 verbessert wird [26]. Ebenso zeigt sich die kombinierte Wirkung von Silber und Kupfer in der photokatalytischen Effizienz des ternären Ag@Cu/TiO2, das eine Abbaurate von etwa 81,07 % aufwies, was dem 3,31-fachen von TiO2 entspricht. Die bemerkenswerte Verbesserung ist auf die effektive Verringerung der Rekombination der Elektron-Loch- Paare und die Einführung weiterer aktiver Stellen für die Einfangung von RB-Molekülen zurückzuführen. Darüber hinaus führte die Einarbeitung von Silber und Kupfer in das TiO2 zu einer erhöhten Lichtabsorption, was weiter zur Gesamtverbesserung beiträgt. Darüber hinaus erhöht sich mit zunehmender Abbaueffizienz auch die Reaktionsgeschwindigkeitskonstante von TiO2, Ag/TiO2, Cu/TiO2 und Ag@Cu/Die Reaktionsgeschwindigkeitskonstante (Abbildung 11d) für Ag@Cu/TiO2 betrug ungefähr 2,76 x 1002 Chemberty 2024, 6, ZUR PER AGATERIA höher als bei TiO2. Die Reaktionsgeschwindigkeitskonstante für Ag/TiO2 und Cu/TiO2 betrug etwa 7,11 x 10ÿ3 bzw. 1,91 x 10ÿ2 .

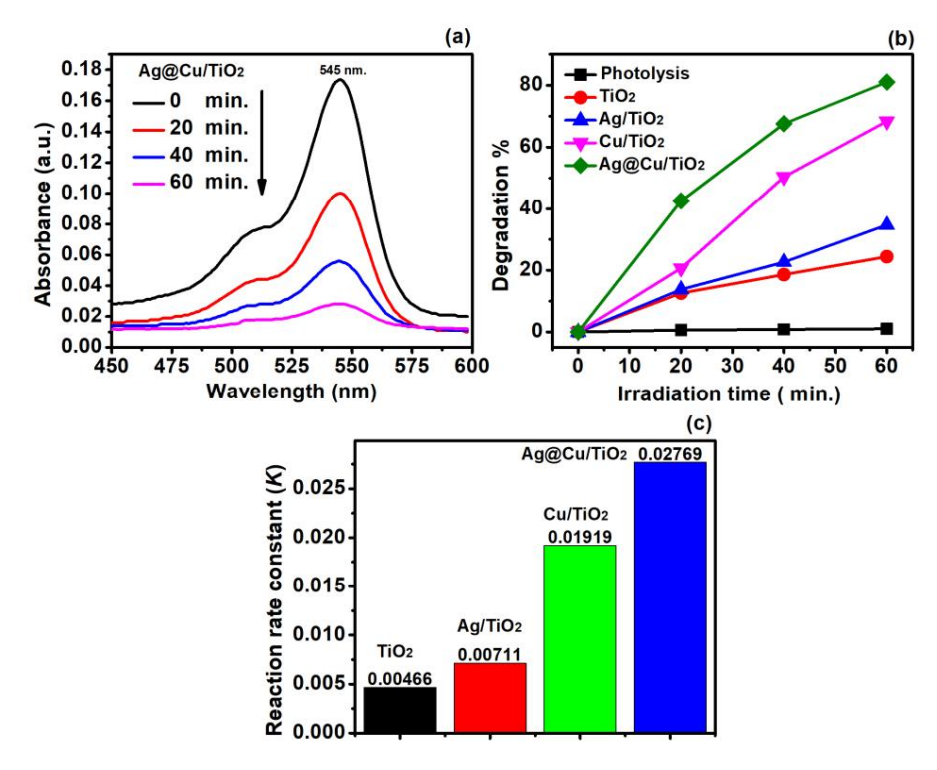


Abbildung 11. (a) Zeitabhängiges UV-Vis-Spektrum von RB für Ag@Cu/TiO2, und (b) Abbaustatistik Abbildung 11. (a) Zeitabhängiges UV-Vis-Spektrum von RB für Ag@Cu/TiO2 und (b) Abbau und (c) Reaktionsgescom Abbildung 11. (a) Zeitabhängiges UV-Vis-Spektrum von RB für Ag@Cu/TiO2 und (b) Abbau und (c) Reaktionsgescom Abbildung 11. (a) Zeitabhängiges UV-Vis-Spektrum von RB für Ag@Cu/TiO2 und (b) Abbau und (c) Reaktionsgescom Miller abbildung 11. (a) Zeitabhängiges UV-Vis-Spektrum von RB für Ag@Cu/TiO2, und (b) Abbaustatistik und (c) Reaktionsgescom Miller abbildung 11. (a) Zeitabhängiges UV-Vis-Spektrum von RB für Ag@Cu/TiO2, und (b) Abbaustatistik und (c) Reaktionsgescom Miller abbildung 11. (a) Zeitabhängiges UV-Vis-Spektrum von RB für Ag@Cu/TiO2, und (b) Abbaustatistik und (c) Reaktionsgescom Miller abbildung 11. (a) Zeitabhängiges UV-Vis-Spektrum von RB für Ag@Cu/TiO2, und (b) Abbaustatistik und (c) Reaktionsgescom Miller abbildung 11. (a) Zeitabhängiges UV-Vis-Spektrum von RB für Ag@Cu/TiO2, und (b) Abbaustatistik und (c) Reaktionsgescom Miller abbildung 11. (a) Zeitabhängiges UV-Vis-Spektrum von RB für Ag@Cu/TiO2, und (b) Abbaustatistik und (c) Reaktionsgescom Miller abbildung 11. (a) Zeitabhängiges UV-Vis-Spektrum von RB für Ag@Cu/TiO2 und (b) Abbaustatistik und (c) Reaktionsgescom Miller abbildung 11. (a) Zeitabhängiges UV-Vis-Spektrum von RB für Ag@Cu/TiO2 und (b) Abbaustatistik und (c) Reaktionsgescom Miller abbildung 11. (a) Zeitabhängiges UV-Vis-Spektrum von RB für Ag@Cu/TiO2 und (b) Abbaustatistik und (c) Reaktionsgescom Miller abbildung 11. (a) Zeitabhängiges UV-Vis-Spektrum von RB für Ag@Cu/TiO2 und (b) Abbaustatistik und (c) Reaktionsgescom Miller abbildung 11. (a) Zeitabhängiges UV-Vis-Spektrum von RB für Ag@Cu/TiO2 und (b) Abbaustatistik und (c) Reaktionsgescom Miller abbildung 11. (a) Zeitabhängiges UV-Vis-Spektrum von RB für Ag@Cu/TiO2 und (b) Abbaustatistik und (c) Reaktionsgescom Miller abbildung 11. (a) Zeitabhängigescom Miller abbildung 11. (a) Zeitabhängigescom Miller abbildung 11. (a) Zeitabh

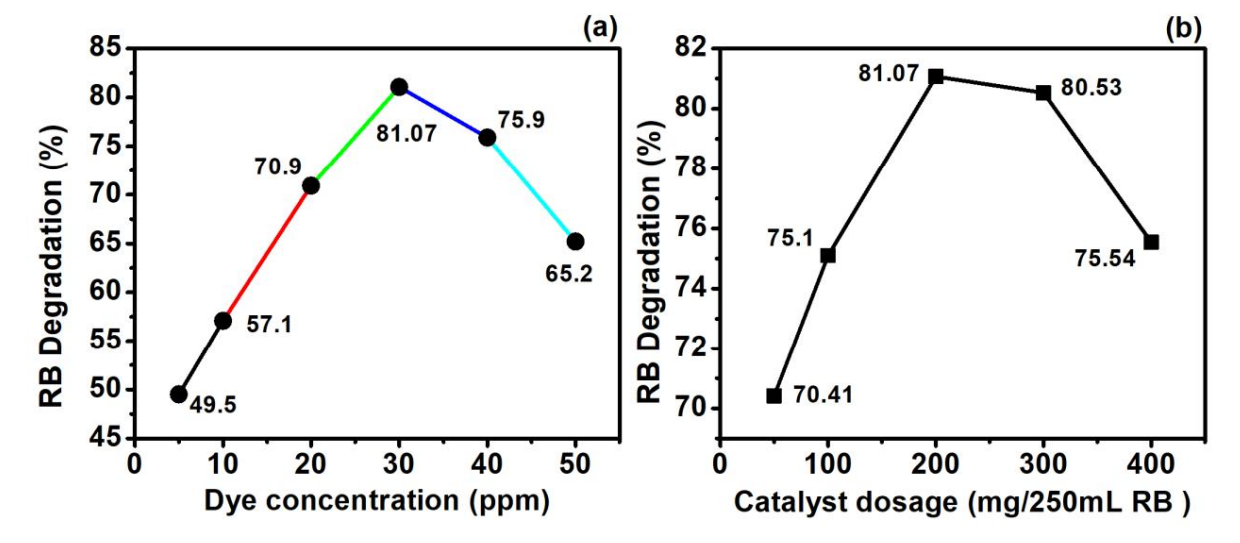
3.5.1. Einfluss der RB-Konzentration

Die Farbstoffkonzentration ist ein entscheidender Faktor, da sie die photokatalytische Effizienz des Katalysators entweder steigern oder verringern kann. Um dies zu untersuchen, wurde eine Reihe von Reaktionen mit verschiedenen RB-Konzentrationen durchgeführt, nämlich 5, 20, 30, 40 und 50 ppm, während die Dosierung von Ag@Cu/TiO2 bei 200 mg/250 ml und die Lichtintensität bei einer 500 W-Halogenlampe gehalten wurde. Wie in Abbildung 12a dargestellt, war der Abbau von RB bei einer RB-Konzentration von 30 ppm mit etwa 81,07 % am höchsten. Die Ergebnisse zeigten einen fortschreitenden Anstieg vor

3.5.1. Einfluss der RB-Konzentration

Die Farbstoffkonzentration ist ein entscheidender Faktor, da sie die photokatalytische Effizienz des Katalysators entweder erhöhen oder verringern kann. Um dies zu untersuchen, wurde eine Reihe von Reaktionen mit verschiedenen RB-Konzentrationen durchgeführt , nämlich 5, 20, 30, 40 und 50 ppm, während die Ag@Cu/TiO2- Dosierung bei 200 mg/250 ml und die Lichtintensität bei einer 500 W-Halogenlampe gehalten wurde . Wie in Abbildung 12a dargestellt, erreichte der Abbau von RB bei einer RB-Konzentration von 30 ppm seinen Höhepunkt, nämlich etwa 81,07 %. Die Ergebnisse zeigten einen fortschreitenden Anstieg der Abbaurate von 5 ppm auf 30 ppm, mit Abbauwerten von etwa 49,5 %, 57,1 %, 70,9 % und 81,07 % für 5 ppm, 10 ppm, 20 ppm u Bemerkenswerterweise begann der Abbau von RB ab 30 ppm abzunehmen, mit Abbauwerten von 75,9 % bzw. 65,2 % bei 40 ppm bzw. 50 ppm. Die hocheffiziente photokatalytische Leistung des Ag@Cu/TiO2 ist auf die wachsende Verfügbarkeit von RB-Farbstoffmolekülen zur Anregung und Energieübertragung bei zunehmender RB-Konzentration zurückzuführen [30]. Beim Überschreiten

Chemistry 2024, 6, ZUR PEER-REVIEWiner kritischen Konzentration, in unserem Fall 30 ppm, beginnen die Farbstoffmoleküle jedoch, die 15
Strahlung zu absorbieren, anstatt vom Ag@Cu/TiO2 absorbiert zu werden, was zu einer Verringerung der photokatalytischen Effizienz des Ag@Cu/TiO2 führt [31].



p**hhbildung** dizdir**) NB wag** alting blk odzentration bei Aground que mod 20 ppm galzopmi und 50 the lighting engit et being in od 50 halp being englassen and bl. (by) avanation desire usannyen da P Cu/250 Pr. 470/250 halp et 250 halp englassen and 250 halp englassen and 250 ml, 300 mg/250 ml und 400 mg/

DosieruwgkusgedeviAkou@codeFiO2-

Accencysation20eDgsieruden Desuptopatkatelytistottekabblytistotiecakbolytistotiec

Diegergstatises (Abbielungt 12b) etaigende deschielt izienzhan Gegeut Jegagt Lattue 1 jer extision zoon gegeut 100 ke beverbere etaigen etaigen zoon gegeut 100 ke beverbere etaigen etaigen

% bei 400 mg/250 ml.

Dieser Rückgang der Effizienz kann auf die Desorption und Streuung von Licht ab einer bestimmten Schwellendosis von Ag@Cu/TiO2 zurückgeführt werden [29].

Die zyklische Wiederverwendbarkeit von Ag@Cu/TiO2 wurde in sieben aufeinanderfolgenden Zyklen bewertet (siehe Abbildung S2). Bemerkenswerterweise blieb die Wiederverwendbarkeit auch nach dem siebten Zyklus bei 79,96 % stabil. Diese Ergebnisse unterstreichen das vielversprechende Potenzial von Ag@Cu/TiO2 für RB-Farbstoffe .

Dieser Rückgang der Effizienz kann auf die Desorption und Streuung von Licht ab einer bestimmten Schwellendosis von Ag@Cu/TiO2 zurückgeführt werden [29].

Die zyklische Wiederverwendbarkeit von Ag@Cu/TiO2 wurde in sieben aufeinanderfolgenden Zyklen bewertet (siehe Abbildung S2). Bemerkenswerterweise blieb die Wiederverwendbarkeit auch nach dem siebten Zyklus bei 79,96 % stabil. Diese Ergebnisse unterstreichen das vielversprechende Potenzial von Ag@Cu/TiO2 für den Abbau von RB- Farbstoffen unter sichtbarem Licht.

3.5.3. Vorgeschlagener photokatalytischer Mechanismus

Abbildung 13 zeigt den vorgeschlagenen Ag@Cu/TiO2 -Abbaupfad von RB. Es gibt drei mögliche Wege zur Bildung von binären und ternären Heteroübergängen mit TiO2.

Das Energieniveau des höchsten besetzten Molekülorbitals von Cu befindet sich zwischen dem Valenzband (VB) und dem

RBig die Nozdationschule Reduktions prozest absorbiert. Hier Beschleungen sie die Doudahlaus von Reduktions prozesse beginnt wenn RB diese Radikale entstehen. Der Abbauprozess beginnt, wenn RB diese Radikale absorbiert.

Leitungsband (CB) von TiO2, was die Bildung einer binären Heteroverbindung erleichtert. Unter Bestrahlung mit sichtbarem 16 Leitungsband (CB) von TiO2, was die Bildung einer binären Heteroverbindung erleichtert. Unter Bestrahlung mit sichtbarem 16 Leitungsband (CB) von TiO2 führt. Die große Anzahl an Löchern in Cu reagiert mit RB, was zu Oxidation und anschließendem RB-Abbau führt. Darüber hinaus tritt das generierte CB in einer binären Ag@TiO2- Heteroverbindung auf, da die Unterschiede in den TiO2-Ionen und Elektronen [32] Politis bergeben wir den bestehten bewerke die besteht der Unterschiede in den TiO2-Ionen und Elektronen [32] Politis bergeben wir den bestehten bewerke die bew

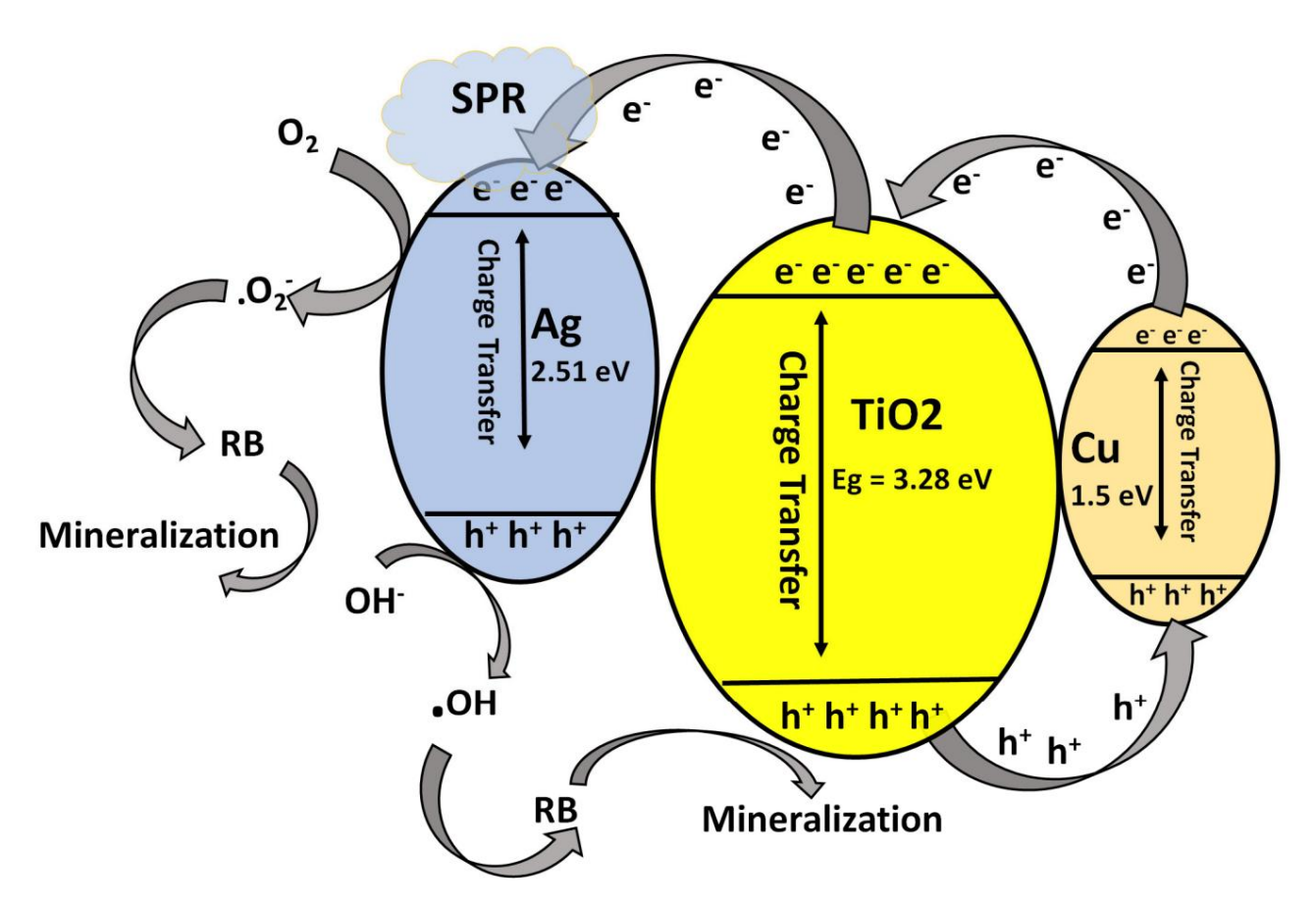


Abbildung 13. Vorgeschlagener Abbaumechanismus von RB durch Ag@Cu/TiO2.

Abbildung 13. Vorgeschlagener Abbaumechanismus von RB durch Ag@Cu/TiO2.

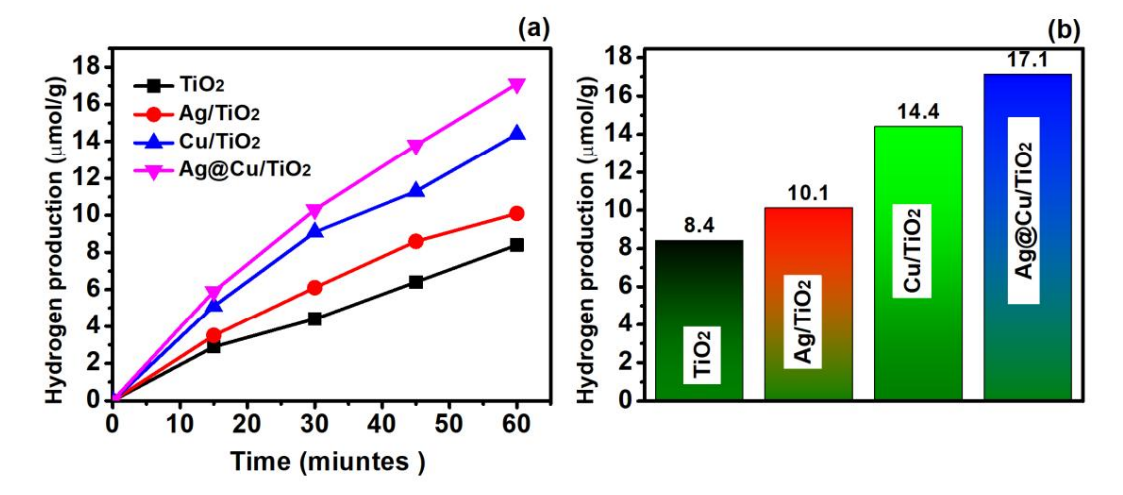
3.6. Wasserstoffproduktion

Unter Verwendung einer 20%igen Konzentration von Methanol als Radikalfänger untersuchten wir die photokatalytische Wasserstofferzeugung von TiO2, Ag/TiO2, Cu/TiO2 und Ag@Cu/TiO2. Die Ergebnisse, wie

3.6. Wasserstoffproduktion

kann auf die Rolle von Ag bei der

von 14,4 µmol hÿ 1 g. Der Wert von Ag@Cu/TiO2 betrug etwa 17,1 µmol nÿ 1 Die Wasserstoffproduktion lässt h y 1 g y 1, was darauf hindeutet, dass Ag und Cu synergetisch zur Steigerung der Wasserstoffproduktion von reinem TiO2 beitragen [35]. Tragen synergistisch zur Steigerung darauf schließen, dass Ag und Cu der Wasserstoffproduktion von reinem TiO2 bei [35]. Darüber hinaus weist die XPS-Analyse der O1s auf eine deutliche Zunahme der Sauerstoffperstellen bei Ag@Cu/TiO2 im Vergleich zu reinem TiO2, Cu/TiO2 und Ag/TiO2 hin. Diese Beobachtung gilt für Ag@Cu/TiO2 im Vergleich zu reinem TiO2, Cu/TiO2 und Ag/TiO2. Diese Beobachtung dient als ein weiterer Faktor, der zur gesteigerten Wasserstoffproduktion beiträgt.



Ahtildyngalse(etb)flylogerrotostaredworionsztergottiöl22Choffio22uncuAtj@countiol2@nkwihi6/20%igenekonzelterron von Methanol als Radikalfänger. 20%ige Konzentration

4: Schlussfelgerungen

The transference of the state o

ÿ1

Ergänzende Materialien: Die folgenden ergänzenden Informationen können heruntergeladen werden unter: https://www.mdpi.com/ertigle/1,03390/chergisty/6030028/s1uAbbildurg S1; Wiederverwendharkeit von Ag @ Cu/TiO2, (b) Wiederverwendharkeit von Ag @ Cu/TiO2, (b) Abbildurg S1; Wiederverwendharkeit von Ag @ Cu/TiO2, (b) Abbildurg S3; (d) Ag alen Viro2, Abbildurg S3; (c) Abbildurg S3; (d) Ag alen Viro2, Abbildurg S3; (d) Abbildurg S3; (d) Ag alen Viro2, Abbildurg S3; (d) Abbildurg S3; (d)

Beiträge der Autoren: Konzeptualisierung, SY, AJ, PK, SAA und MOA; Datenkuratierung, SS und SY; Formale Analyse, SY, SS und SAA; Mittelbeschaffung, SY und PK; Untersuchung SY, AJ, PK, SAA, MOA und MA; Methodik, SY, PK, AJ und MOA; Projektverwaltung, SY, AJ, PK und MOA; Ressourcen, SY, AJ, PK und MOA; Software, SS und MA; Überwachung, AJ, PK und MOA; Validierung, SY und MA; Visualisierung, SY, PK, SAA und MOA; Schreiben – Originalentwurf, SY und MA; Schreiben – Überprüfung und Bearbeitung, SY, AJ, PK und MOA Alle

> Autorenbeiträge: Konzeptualisierung, SY, AJ, PK, SAA und MOA; Datenkuratierung, SS und SY; Formale Analyse, SY, SS und SAA; Mittelbeschaffung, SY und PK; Untersuchung SY, AJ, PK, SAA, MOA und MA; Methodik, SY, PK, AJ und MOA; Projektverwaltung, SY, AJ, PK und MOA; Ressourcen, SY, AJ, PK und MOA; Software, SS und MA; Supervision, AJ, PK und MOA; Validierung, SY und MA; Visualisierung, SY, PK, SAA und MOA; Schreiben - Originalentwurf, SY und MA; Schreiben - Überprüfung und Bearbeitung, SY, AJ, PK und MOA Alle Autoren haben die

Chemistry 2024, 6, ZUR PEER PEULEW Version des Manuskripts.

Finanzierung: Beide Autoren (Pramod Kumar und Satish Yadav) danken der Higher Bildungsministerium der Regierung von Uttar Pradesh (Indien) für die Bereitstellung finanzieller Unterstützung und Stipen Stipen dium ohd dash Eleas Ebusagung and Eth Ewitak blungsist bipen blur (Schreibern Nur. 899/202/2/1998 5); -4-2022/01/1 2022/001-4432220022yoom11.11.0(20022).

Chemistry 2024, 6, ZUR PEFFIRFUE Wasterny enfügstankeirf யெற்ற பிக்கம்: Weed at an in Aarthag வாப் Alvite கிற்ற மற்ற இசர்கியாற gestellt.

Danksagu Dan Bæigen getor Beide rentorer Kultræm och dußetistin V Satish Mötthuten söchtebetede in lochschulministerium der Regierung von Uttar Prædæsestri(theire) rfjirfürliel i er laaze ist seelluntegret ütexufriget aaktepentelooch schuft ah instemi des de or Relgiengen guvon Eutharick lungsstipen di LIntectrieitzen Nr. 8939022/1585/ujöci4/2027/0schungs- und Entwicklungsstipendium (Schreiben Nr. 4-32-2022 vom tance und Stipendium durch das Forschungs- und Entwicklungsstipendium (Schreiben Nr. 89/2022/1585/ vom 10.11.**2012)):2:/4688)**;;;**;;+-2:0202/2000:1+-5-3-2-0202**2, vom 11.10.2022).

Interessenkentlikus: Die Authoria acklötent igssarkeiner dutatssarenke eftilde seellikuntatione vzuttäder tügung gestellt.

Verweise

Danksagungen: Beide Autoren (Pramod Kumar und Satish Yadav) möchten dem Higher Education Department der Regierung von Uttar Pradesh (Indien) für die Bereitstellung von Finanzmitteln danken. 1. Feng, A.; Feng, J.;

Xing, W.; Jiang, K.; Tang, W. Vielseitige Anwendungen elektrochemischer Durchflusssysteme in der Wasseraufbereitung wird zu Vielseitige Anwendungen elektrochemischer Durchflusssysteme in der Wasseraufbereitung wird zu Vielseitige Anwendungen elektrochemischer Durchflusssysteme in der Wasseraufbereitung wird zu Vielseitige Anwendungen elektrochemischer Durchflusssysteme in der Wasseraufbereitung wird vielseitige Anwendungen elektrochemischer Durchfluss wird vielseitige Anwendungen elektrochemischer Durchfluss wird vielseitige Anwendungen elektrochemischer Vielseitige von der Vielseitige von d Prozesse. Chem. Eng. J. **2023**, 473, 145400. [CrossRef] 4535/1454/20022/001-4-32-2022, Stand 11.10.2022).

Huang, L.; Huang, X.; Yan, J.; Liu, Y.; Jiang, H.; Zhang, H.; Tang, J.; Liu, Q. Forschungsfortschritte bei der Anwendung von Perowskit
 2. Huang, X.; Yan, J.; Liu, Y.; Jiang, H.; Jang, J.; Liu, Q.; Forschungsfortschritte bei der Anwendung von Perowskit
 in Adsorption und photokatalytischer Entfernun meres sentral in Adsorption and Photocatalytic Removal of Water Pollutants. J. Hazard. Mater. 2023, 442, 130024.

3. Noor, R.; Magsood, A.; Baig, A.; Pande, C.B.; Zahra, S.M.; Saad, A.; Anwar, M.; Singh, S.K. Eine umfassende Übersicht über Wasser 3. Noor, R.; Magsood, A.; Baig, A.; Pande, C.B.; Zahra, S.M.; Saad, A.; Anwar, M.; Singh, S.K. Eine umfassende Übersicht über Wate

3. Noor, R.; Magsood, A.; Baig, G.B.; Zaha, S.M.; Saad, A.; Anwar, M.; Singh, S.K. Eine umfassende Übersicht über Wate Umweltrerbienberung, Region Südasien: Pakistan. Urban Clim. 2023, 48, 101413, 10 pp. S.R. Eine umfassende Übersicht über Wate Umweltrerbienberung, Region Südasien: Pakistan. Urban Clim. 2023, 48, 101413, 10 pp. S.R. Eine umfassende Übersicht über Wate Umweltrerbienberung, Region Südasien: Pakistan. Urban Clim. 2023, 48, 101413, 10 pp. S.R. Eine umfassende Übersicht über Wate Umweltrerbienberung, Region Südasien: Pakistan. Urban Clim. 2023, 48, 101413, 10 pp. S.R. Eine umfassende Übersicht über Wate Umweltrerbienberung, Region Südasien: Pakistan. Urban Clim. 2023, 48, 101413, 10 pp. S.R. Eine umfassende Übersicht über Wate Umweltrerbienberung. Region Südasien: Pakistan. Urban Clim. 2023, 48, 101413, 10 pp. S. P. L.; Huang, S. T.; Lee, W.W.; Chang, S. Lee

und Membrand in Heisen H. A. A. A. Basa S. A. West, vol. W. Hand Levic Ching and Machinition Case by design and provided in CrossRef | Published William Chine University of the Control o Be**Ogatic Research (Septem 1991)** [Septem 1992] Septem 1992 [Septem 1992] Beogatic Research (Septem 1993) Beogatic Research (S

16. Christoforidis; KC; Fornasiero, P. Photokatalytische Wasserstoffproduktion: Ein Riss in die zukünftige Energieversorgung. *ChemCatCh* 19. Tayeb, AM; Hussein, Q. Syntherson TiO2- Nanopartikeln und ihre photokatalytische Aktivität für Methylenblau. Am. 2017, 9, 1523–1544. https://doi.org/10.1002/

17. Dangnettere 19.5: Faft, 163; Pi, Y.; Hu, L.; Han, X.; Liu, M.; Sun, J.; Sun, J. Jüngste Entwicklungen in der heterogenen Photokatalyse

20. Li, Z. Wheer autocheng a white anticided under beinder beinde beinder beinde beind

18. Palanisamy, VK; Manoharan, K.; Raman, K.; Sundaram, R. Effizientes sonnenlichtgetriebenes photokatalytisches Verhalten von Zinksulfid- Nanostäben gegenüber dem Abbau von Bengalrosa. J. Mater. Sci. Mater. Electron. 2020, 31, 14795–14809. [CrossRef]

- Tayeb, AM; Hussein, DS Synthese von TiO2- Nanopartikeln und ihre photokatalytische Aktivität für Methylenblau. Am. J. Nanomater. 2015. 3. 57–63.
- 20. Li, Z.; Meng, X.; Zhang, Z. Neueste Entwicklungen in der MoS2 -basierten Photokatalyse: Ein Überblick. J. Photochem. Photobiol. C Photochem. 2018 . 35. 39–55. [CrossRef]
- 21. Li, Z.; Wang, S.; Wu, J.; Zhou, W. Jüngste Fortschritte bei defekten TiO2- Photokatalysatoren für Energie- und Umweltanwendungen. Erneuern. Aufrechterhalten. Energy Rev. 2022, 156, 111980. [CrossRef]
- 22. Chun-Te Lin, J.; Sopajaree, K.; Jitjanesuwan, T.; Lu, M.-C. Anwendung von sichtbarem Licht auf kupferdotiertes Titandioxid zur Katalyse des Abbaus von Chlorphenolen. Sep. Purif. Technol. 2018, 191, 233–243.
- 23. Zhang, H.; Wang, G.; Chen, D.; Lv, X.; Li, J. Feinabstimmung der photoelektrochemischen Leistung von Ag-TiO2- Nanokompositen über Reduktion/Oxidation von Ag. Chem. Mater. 2008, 20, 6543–6549. [CrossRef]
- 24. Sun, M.; Wang, Y.; Fang, Y.; Sun, S.; Yu, Z. Konstruktion von MoS2/CdS/TiO2- Ternärkompositen mit verbesserter photokatalytischer Aktivität und Stabilität. J. Alloys Compd. 2016, 684, 335–341. [CrossRef]
- 25. Dustgeer, MR; Asma, ST; Jilani, A.; Raza, K.; Hussain, SZ; Shakoor, MB; Iqbal, J.; Abdel-wahab, MS; Darwesh, R. Synthese und Charakterisierung eines neuartigen einphasig gesputterten Cu2O -Dünnfilms: Strukturelle, antibakterielle Aktivität und photokatalytischer Abbau von Methylenblau. Inorg. Chem. Commun. 2021, 128, 108606. [CrossRef]
- 26. Jilani, A.; Iqbal, J.; Rafique, S.; Abdel-wahab, MS; Jamil, Y.; Al-Ghamdi, AA Morphologische, optische und röntgen-photoelektronenchemische
 Zustandsverschiebungsuntersuchungen von ZnO-Dünnschichten. Optik **2016**, 127, 6358–6365. [CrossRef]
- 27. Kumari, A.; Zaman, M.; Kumar, A.; Singh, VR; Ghosh, A.; Sahoo, SK; Rahaman, A.; Mandal, SK; Bhunia, S. Ein alternativer Ansatz zur Untersuchung des photokatalytischen Verhaltens von TiO2 unter Verwendung synchrotronbasierter fortschrittlicher spektroskopischer Techniken. J. Mater Eng. Perform 2023, 32, 10391–10401. [CrossRef]
- 28. Shi, Y.; Li, L.; Xu, Z.; Guo, F.; Li, Y.; Shi, W. Synergistische Kopplung von piezoelektrischen und plasmonischen Effekten reguliert die Schottky-Barriere in der Heterostruktur aus Ag-Nanopartikeln/ultradünnen g-C3N4 -Nanoschichten, um die photokatalytische Aktivität zu verbessern. Appl. Surf. Sci. 2023, 616, 156466. [CrossRef]
- 29. Di, S.; Guo, S.; Wang, Y.; Wang, W.; Jung, YM; Chen, L.; Wang, L. Oberflächenplasmonenresonanzeffekt auf den Ladungstransfer in Ag@ Cu2O-rGO-Komposite. Mater. Chem. Phys. 2023, 301, 127621. [CrossRef]
- 30. Hanafi, MF; Sapawe, N. Einfluss der Anfangskonzentration auf den photokatalytischen Abbau von Remazol Brilliant Blue Dye unter Verwendung Nickelkatalysator. Mater. Today Proc. 2020, 31, 318–320. [CrossRef]
- 31. Reza, KM; Kurny, A.; Gulshan, F. Parameter, die den photokatalytischen Abbau von Farbstoffen mit TiO2 beeinflussen: Eine Übersicht. Appl. Wasserwissenschaft 2017, 7, 1569–1578. [CrossRef]
- 32. Mansfeldova, V.; Zlamalova, M.; Tarabkova, H.; Janda, P.; Vorokhta, M.; Piliai, L.; Kavan, L. Austrittsarbeit von TiO2- Einkristallen (Anatas, Rutil und Brookit): Auswirkungen der Umgebung. J. Phys. Chem. C 2021, 125, 1902–1912. [CrossRef]
- 33. Huang, K.; Li, C.; Zheng, Y.; Wang, L.; Wang, W.; Meng, X. Jüngste Fortschritte bei der silberbasierten Photokatalyse: Hemmung der Photokorrosion, Verbesserung der Empfindlichkeit gegenüber sichtbarem Licht und Beschleunigung der Ladungstrennung. Sep. Purif. Technol. **2022**, 283, 120194.
- 34. Yadav, AA; Hunge, YM; Kang, S.-W. Schwammartige, kugelartige Kupferoxid-Nanostruktur, modifiziert durch reduziertes Graphenoxid zur verbesserten photokatalytischen Wasserstoffproduktion. Mater. Res. Bull. 2021, 133, 111026. [CrossRef]
- 35. Wu, D.; Liu, H.; Chen, J.; Liu, W.; Histand, G.; Wang, T. Cu NPs-eingebettete vernetzte mikroporöse 3D-reduzierte Graphenhydrogele als Photokatalysator für die Wasserstoffentwicklung. J. Colloid Interface Sci. 2020, 577, 441–449. [CrossRef]

Haftungsausschluss/Anmerkung des Herausgebers: Die in allen Veröffentlichungen enthaltenen Aussagen, Meinungen und Daten sind ausschließlich die der einzelnen Autoren und Mitwirkenden und nicht die von MDPI und/oder den Herausgebern. MDPI und/oder die Herausgeber lehnen jegliche Verantwortung für Personen- oder Sachschäden ab, die aus den im Inhalt erwähnten Ideen, Methoden, Anweisungen oder Produkten resultieren.